

图 3

的很薄的同心球壳，则每个球壳从  $s$  系看起来都是一个旋转椭球壳，这些椭球壳厚度可就不均匀了。沿  $s$  系运动方向正前方变厚了，而后方变薄了。从(12)式可知，在  $\theta = 0$  方向，

$$r/r' = (\sqrt{1 - \beta^2})/(1 + \beta) < 1,$$

在  $\theta = \pi$  方向，

$$r/r' = (\sqrt{1 - \beta^2})/(1 - \beta) > 1,$$

在  $\theta = \pi/2$  方向，

$$r/r' = \sqrt{1 - \beta^2} < 1.$$

等等。总之，正前方的粒子变远而且变稀，后方

粒子变近而且密。就好像一侧受到挤压而另一侧受到拉伸，压缩比与  $\beta, \theta$  有关，

$$r/r' = (\sqrt{1 - \beta^2})/(1 + \beta \cos \theta).$$

作为例子，我们在图中画出了  $s'$  系中  $A'B'C'D'$  这个周界变成了  $s$  系中的  $ABCD$ 。请注意，径向直线  $A'B', C'D'$  变换后仍为直线，各点和  $z$  轴的距离也保持不变。

## 参 考 文 献

- [1] Terrell, J. Phys. Rev., 116 (1959), 1041.
- [2] V. F. Weisskopf, Phys. Tod., 13 (1960), 24.

## 热致液晶分子结构和物理性质

王 良 御

(清 华 大 学)

液晶的物理参数是液晶分子宏观整体性质的反映，它和液晶分子结构密切相关。到目前为止，已合成出数千种液晶化合物。对其物理参数积累了相当数量的数据，如测定了许多液晶的介电常数、折光指数、粘度、弹性常数、有序参数等物理量。另一方面又经 X 射线衍射、红外、紫外、核磁共振波谱等手段的研究，确定了液晶分子结构。于是，逐步揭示出液晶的分子结构和物理性质之间的内在联系，从而为合成新型液晶材料，研究液晶结构指明了方向。本

文从液晶分子化学结构特征，说明液晶分子结构对液晶物理性质的影响。

### 一、液晶分子结构和介电各向异性

液晶介电各向异性特征是决定液晶分子在电场中行为的主要参数。Meier 等人<sup>[1]</sup>将 Onsager 对各向同性液体介电性质的公式推广应用到各向异性的液晶物质。从分子极化度  $\alpha$ ，分子中所含偶极矩的大小以及它和分子长轴夹角

关系导出了下面公式：

$$\begin{aligned}\varepsilon_{\parallel} &= 1 + 4\pi hNF \left\{ \bar{\alpha} + \frac{2}{3} \Delta\alpha S \right. \\ &\quad \left. + F \frac{\mu^2}{3KT} [1 - (1 - 3\cos^2\beta)S] \right\}, \quad (1)\end{aligned}$$

$$\begin{aligned}\varepsilon_{\perp} &= 1 + 4\pi hNF \left\{ \bar{\alpha} - \frac{1}{3} \Delta\alpha S \right. \\ &\quad \left. + F \frac{\mu^2}{3KT} \left[ 1 + \frac{1}{2} (1 - 3\cos^2\beta)S \right] \right\}, \quad (2)\end{aligned}$$

$$\begin{aligned}\Delta\varepsilon = \varepsilon_{\parallel} - \varepsilon_{\perp} &= 4\pi hNF \left\{ \Delta\alpha - F \frac{\mu^2}{3KT} \right. \\ &\quad \left. \cdot \frac{3}{2} (1 - 3\cos^2\beta) \right\} S, \quad (3)\end{aligned}$$

$\varepsilon_{\parallel}$  为平行于分子长轴的介电常数； $\varepsilon_{\perp}$  为垂直于分子长轴的介电常数； $\mu$  为永久偶极矩； $\beta$

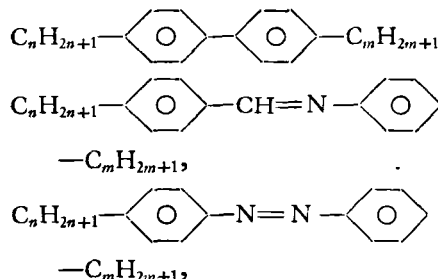
为永久偶极矩和分子长轴之间的夹角； $S$  为有序参数； $\Delta\alpha = \alpha_{\parallel} - \alpha_{\perp}$  为平行于分子轴和垂直于分子轴的极化度差； $\bar{\alpha} = \frac{1}{3} (\alpha_{\parallel} + 2\alpha_{\perp})$ ； $T$  为绝对温度； $h, F$  为 Onsager 理论在惰性场下因子； $N$  为分子数/厘米<sup>3</sup>； $k$  为玻耳兹曼常数； $\Delta\varepsilon > 0$  为正介电各向异性； $\Delta\varepsilon < 0$  为负介电各向异性。

从分子结构观点来说，液晶介电各向异性决定于液晶分子结构中所含有的永久偶极矩( $\mu$ )和分子的极化度( $\Delta\alpha$ )<sup>[2]</sup>。如果分子中不含有这种偶极矩(或方向相反互相抵消)，则液晶介电各向异性将由液晶分子极化度决定，但是这种分子的  $|\Delta\varepsilon|$  总是比较小的，如表 1。

表 1 一些液晶的介电各向异性

液 晶 分 子 结 构	中 文 名 称	$\Delta\varepsilon$
<chem>C8H17Oc1ccc(cc1)-N=N(O)-c2ccc(cc2)OC8H17</chem>	4,4'-双正辛氧基氧化偶氮苯	+0.025(98°C)
<chem>C7H15-C6H4-OOC-C6H4-C7H15</chem>	4-正丁基甲酸 4'-正庚基苯酚酯	+0.35(25°C)
<chem>C7H15-C6H4-N=N-C6H4-C7H15</chem>	4,-4'-双正庚基偶氮苯	+0.40
<chem>C7H15-C6H4-COO-C6H4-C7H15</chem>	4-正戊基环己烷基甲酸 4'-正戊基苯酚酯	+0.40(110°C)
<chem>CH3O-C6H4-CH=N-C6H4-C7H15</chem>	4-甲氧基苯叉 4'-正丁基苯胺	-0.5(21°C)
<chem>CH3O-C6H4-N=N(O)-c2ccc(cc2)OCCH3</chem>	4,4'-双甲氧基氧化偶氮苯	-0.2(110°C)

沿分子轴极化度( $\alpha_{\parallel}$ )如大于垂直分子轴的极化度( $\alpha_{\perp}$ )， $\Delta\alpha > 0$ ，则得到正介电各向异性液晶，反之得到负介电各向异性液晶。下述系列的液晶如



( $n, m$  为整数)，分子结构中无强永久偶极矩存

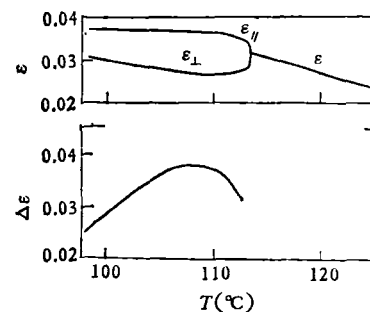


图 1 4,4'-双正辛氧基氧化偶氮苯  
介电各向异性随温度变化图

表 2 含有强偶极矩的液晶介电各向异性

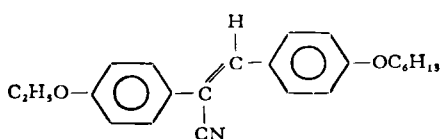
编号	液 晶 分 子 结 构	中 文 名 称	$\Delta\epsilon$
1	<chem>Cc1ccc(C#Nc2ccc(C#N)cc2)cc1O</chem>	4-正己氧基苯叉4'-腈基苯胺	+13.5(45°C)
2	<chem>Cc1ccc(C(=O)c2ccc(C#N)cc2)cc1O</chem>	4-正己基苯甲酰4'-腈基苯酚酯	+21.2(35°C)
3	<chem>Cc1ccc(C#Nc2ccc(Cc3ccccc3)cc2)cc1O</chem>	4-正戊氧基4'-腈基联苯	+13.7(45°C)
4	<chem>Cc1ccc(Cc2ccc(C#N)cc2)cc1O</chem>	4-正戊基4'-腈基三联苯	+12.5(130°C)
5	<chem>Cc1ccc(C#Nc2ccc(C#N)cc2)cc1O</chem>	4-正戊基4'-腈基苯(2-氮)嘧啶	+20.9(45°C)
6	<chem>Cc1ccc(C#Nc2ccc(Cc3ccccc3)cc2)cc1O</chem>	4-正戊基苯4'-腈基苯(2-氮)嘧啶	+22.1(100°C)
7	<chem>Cc1ccc(C(=O)c2ccc(C#N)cc2)cc1Cc7ccccc7</chem>	4-正戊基联苯甲酰4'-正庚基 $\alpha'$ -腈基苯酚酯	-4.0(46°C)
8	<chem>Cc1ccc(Cc2ccccc2C(C#N)=C(OCC6CCCC6)C2)cc1O</chem>	4-乙氧基4'-正己氧基 $\alpha$ - 腈基反式二苯乙烯	-5.5(56°C)
9	<chem>Cc1ccc(C#Nc2ccc(C#N)cc2)cc1Cc3ccccc3</chem>	4,4'-双正戊基苯叉(2-腈基) 对苯二胺	-2.0(114°C)
10	<chem>Cc1ccc(C(=O)c2ccc(C(=O)c3ccc(Cc4ccccc4)cc3)cc2)cc1O</chem>	双正丙基环己烷甲酰基 (2',3'二腈基)对苯二酚酯	-22.0

在，它们的  $|\Delta\epsilon|$  都比较小。以 4,4'-双正辛氧化偶氮苯为例，在整个向列相温度区间内  $\Delta\epsilon$  都比较小，见图 1。

含有强偶极矩的液晶分子则具有比较大的介电各向异性，而且该永久偶极矩和分子轴同向时，液晶呈现正介电各向异性，但是如果在分子侧向方向，甚至是垂直于分子轴，引进强永久偶极矩，可以得到负介电各向异性的液晶<sup>[3,4]</sup>，如表 2。

在表 2 中 1—6 化合物，沿分子轴都含有腈基 ( $\mu = 4.05$  debye) 是很强的偶极矩、呈现正

介电各向异性 ( $\Delta\epsilon > 0$ )，而且  $|\Delta\epsilon|$  亦是很大的。因此在合成液晶材料时，沿分子轴引进强偶极矩的  $-CN$ ,  $-NO_2$ , ... 等基团，总是得到正介电各向异性的液晶。而在分子侧向位置上引进强偶极矩，则有可能得到负介电各向异性的液晶，如表 2 中的第 7, 8, 9, 10 四个化合物。以



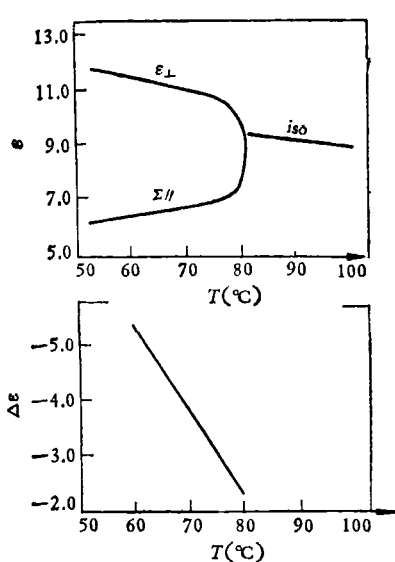


图 2 EHCTS 介电各向异性随温度变化图

(EHCTS 表示)为例,在分子侧向位置上含有腈基 ( $-CN$ ),而且几乎是垂直于分子长轴,所以在它的整个相变区间内其  $\Delta\epsilon < 0$  (见图 2)。

当液晶化合物中偶极矩,既不平行于分子轴亦不垂直于分子轴,而是和分子轴成一夹角  $\beta$  时,可根据公式(3)估计一些液晶化合物的介电各向异性,即

$$\Delta\epsilon = \epsilon_{\parallel} - \epsilon_{\perp} = 4\pi hNF \left\{ \Delta\alpha - F \frac{\mu^2}{3KT} \cdot \frac{3}{2}(1 - 3\cos^2\beta) \right\} S.$$

一般情况下,  $\mu$  的影响总是大于  $\Delta\alpha$  的影响,所以液晶的  $\Delta\epsilon$  值符号主要决定于  $1 - 3\cos^2\beta$  的符号,因而  $\beta < 55^\circ$  角以下,此时该液晶的  $\Delta\epsilon > 0$ ,为正介电各向异性。当  $\beta > 55^\circ$  角以上,液晶  $\Delta\epsilon < 0$ ,为负介电各向异性。但是必须注意,引入的偶极矩如果使分子发生弯曲、变形,液晶的  $\Delta\epsilon$  就应由其它因素决定。

液晶分子中含有两个以上永久偶极矩时,其  $\Delta\epsilon$  决定于分子中偶极矩矢量的代数和,同向时  $\Delta\epsilon$  增大,反向时  $\Delta\epsilon$  减小,如表 3。

如果液晶分子中的强偶极矩基团 (如  $-CN$ ) 和苯形成一共轭  $\pi$ -电子体系,极化效应扩展到整个分子体系,使沿分子轴极化度较大,得到高的正介电各向异性液晶,因而用非共轭体系的环己烷代替苯环,则  $\Delta\epsilon$  会降低,如表 4。

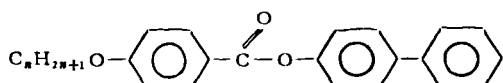
某些系列的液晶其  $\Delta\epsilon > 0$ ,而且数值比较小时随末端烷基,烷氧基( $C_nH_{2n+1}, C_nH_{2n+1}O-$ )链的增长,出现交替升降的规律——即奇偶效应,如烷氧基苯甲酸联苯酯,

表 3 偶极矩矢量对液晶介电各向性的影响

液 晶 分 子 结 构	中 文 名 称	$\Delta\delta$
	4-正己氧基苯叉 4'-腈基苯胺	+13.5
	4-腈基苯叉 4'-正己氧基苯胺	+7.3
	4-正丁氧基苯叉 4'-腈基苯胺	+14.1
	4-腈基苯叉-4'-正丁氧基苯胺	+8.8

表 4 共轭  $\pi$ -电子体系对液晶  $\Delta\epsilon$  的影响

液晶分子结构	中文名称	$\Delta\epsilon$
<chem>C9H11-C(=O)c1ccccc1-c2ccccc2-C#N</chem>	4-正戊基 4'-腈基联苯	+11
<chem>C9H11-O-C(=O)c1ccccc1-c2ccccc2-C#N</chem>	4-正戊基环己基 4'-腈基苯	+9.9 <sup>±1</sup>
<chem>C9H11-O-C(=O)c1ccccc1-c2ccccc2-C#N</chem>	4-正戊基环己基 4'-腈基环己烷	+4 <sup>±1</sup>



当  $n$  为奇数时具有低的介电各向异性 ( $\Delta\epsilon$ ), 为偶数时则具有较大的介电各向异性 (图 3)。

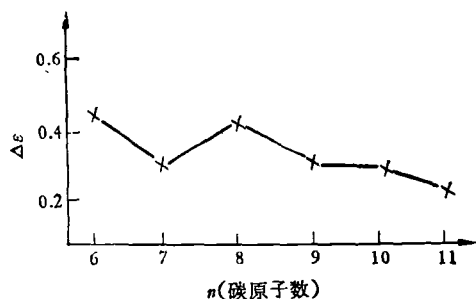
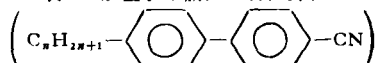


图 3 烷氧基苯甲酸联苯酯介电各向性的奇-偶效应图

但是对于高正介电各向异性的液晶,  $\Delta\epsilon$  只随碳原子数 ( $n$ ) 增大而连续降低 (见表 5)。

表 5 烷基联苯腈介电各向异性



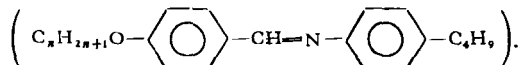
$n$	$\Delta\epsilon$
5	+11.0
6	+7.27
7	+6.75
8	+6.15

对于其他系列的液晶, 亦具有同样倾向。

## 二、液晶分子结构和液晶导电各向异性

一般热致液晶具有非离子结构, 所以它的导电度总是很低的 [ $\sigma < 10^{-11}(\Omega \cdot \text{cm})^{-1}$ ]。液晶导电各向异性可以用  $\sigma_{//}/\sigma_{\perp}$  来描述, 但是它又是温度的函数, 故用  $z(t) = \sigma_{//}/\sigma_{\perp}$  表示。在

向列液晶中总是  $\sigma_{//}/\sigma_{\perp} > 1$ , 这反映了离子在液晶中运动, 沿分子轴方向比垂直于分子轴方向要容易得多。而在近晶相液晶中, 离子运动在分子层间却比较容易, 所以  $\sigma_{//}/\sigma_{\perp} < 1$ 。因此我们可以从液晶的  $\sigma_{//}/\sigma_{\perp}$  比例的变化, 看出液晶状态的变化。例如在烷氧基苯叉对氨基丁苯类液晶系列中



随着碳原子数 ( $n$ ) 的增加, 生成近晶相的倾向增加, 测得其导电各向异性  $\sigma_{//}/\sigma_{\perp}$  从大于 1 变为

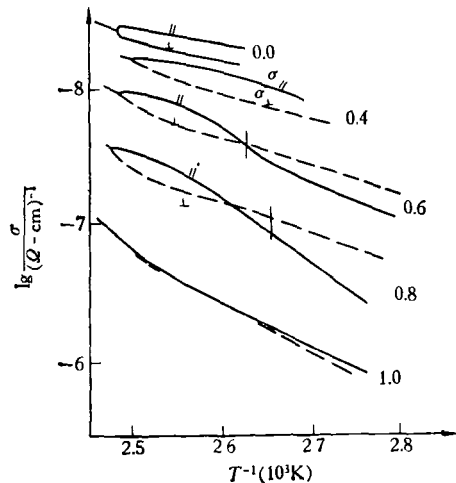
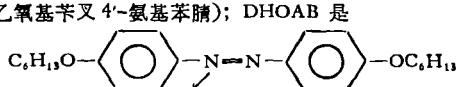


图 4 PEBAB/DHOAB 不同比例时导电度-温度关系图

[PEBAB 是 C6H5O-C(=O)c1ccccc1-CH=N-C(=O)c2ccccc2-CN (4-乙氧基苯叉 4'-氨基苯腈); DHOAB 是



(4,4'-双乙氧基氧化偶氮苯); 0.0 表示 100% PEBAB; 1.0 表示 100% DHOAB; 0.4, 0.6, 0.8 分别表示 40%, 60%, 80% DHOAB; 垂线表示该组成下相变温度]

小于 1，反映出由于形成了具有近晶相特征的群聚向列态<sup>[7]</sup>。

同样，对于混合液晶(PEBAB 和 DHOAB)，随着组成的变化，会发生一系列相态变化，这可以从测量混合液晶导电各向异性的变化来确定。为了得到较大的  $\sigma$  值，可向上述混合液晶中加入 0.01% 的四丁基胺苦味酸盐(Tetrabutylammoniumpicrate)，该盐溶于液晶中，是以正负离子形式存在，成为电荷载流子。用 12000G 磁场使液晶分子取向，测定其  $\sigma_{\parallel}$ ,  $\sigma_{\perp}$ ，发现随着 DHOAB, PEBAB 比例不同，在某些区域其  $\sigma_{\parallel}/\sigma_{\perp}$  亦可以从大于 1 变为小于 1，从而揭示出在该组成区有近晶相产生<sup>[8]</sup>(图 4)。

从图 4 可以看到 DHOAB 浓度在 0.6~0.8 之间存在着  $\sigma_{\parallel}/\sigma_{\perp}$  的变化，相对应的混合液晶确实存在着近晶相 A。

### 三、液晶分子结构和液晶粘度

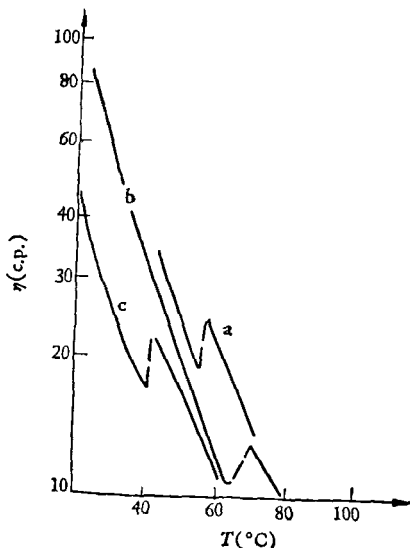
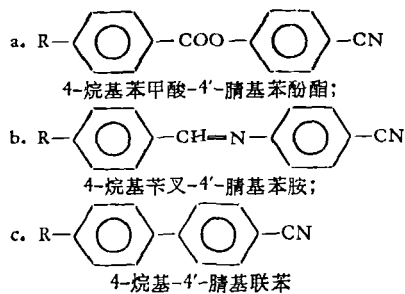


图 5 液晶粘度随温度变化图



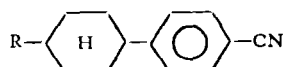
液晶粘度 ( $\eta$ ) 是液晶电光显示参数中的一个重要参数，它强烈影响液晶电光显示的响应速度，液晶粘度的大小反映液晶分子间互相作用力的大小，因而分子极性大小，极化变形程度， $\pi$ -电子体系的存在都会明显地影响液晶粘度。同时，粘度又是温度的函数，随着温度增加而降低，到达液晶清亮点时成为各向同性液体，具有明显不同的粘度，发生突变<sup>[9]</sup>(图 5)。

在分子结构中用极化率低的环己烷取代苯环(含  $\pi$ -电子体系)，将导致液晶粘度的降低(表 6)，这为合成低粘度的新型液晶材料提供了方向。

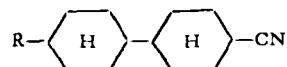
表 6 三种液晶粘度比较表

液晶分子结构	粘度 (c.p.)(20°C)
$\text{C}_6\text{H}_{13}-\text{C}_6\text{H}_4-\text{C}_6\text{H}_4-\text{CN}$	40
$\text{C}_6\text{H}_{13}-\text{C}_6\text{H}_4-\text{C}_6\text{H}_4-\text{CN}$	25
$\text{C}_6\text{H}_{13}-\text{C}_6\text{H}_4-\text{C}_6\text{H}_4-\text{CN}$	$\leq 25$

目前以



类以及



类液晶粘度最低，随温度变化小，而且稳定性好，响应速度快，是目前最优良的液晶材料之一。

### 四、双折射现象

液晶是一种各向异性的物质，所以光在液晶中传播会发生双折射。当光经过某些液晶时，非寻常光的折射率大于寻常光的折射率，即  $n_e > n_o$ ，即光在液晶中的传播速度  $v_o < v_e$ 。当寻常光的传播速度快，这种液晶材料在光学上称为正光性液晶材料。向列液晶几乎都是正光性材料。胆甾相液晶的光轴同螺旋轴平行，而与分子面垂直，非寻常光的折射率小，即  $n_e < n_o$ ，

光在这种材料中传播速度则是非寻常光传播速度快, 即  $v_e > v_o$ , 因此胆甾型液晶光学上为负光性材料。液晶的光学各向异性和液晶分子结构相关, 如

### (1) 分子极化度对液晶光学各向异性的影响

液晶材料的光学各向异性表现在液晶材料折射率的各向异性, 它和液晶分子极化度密切相关, 可用下式描述<sup>[10]</sup>:

$$\frac{n_e^2 - 1}{\bar{n}^2 + 2} = \frac{4}{3} \pi N_N \alpha_e, \quad (4)$$

$$\frac{n_o^2 - 1}{\bar{n}^2 + 2} = \frac{4}{3} \pi N_N \alpha_o, \quad (5)$$

$$\bar{n}^2 = \frac{1}{3} (n_e^2 + 2n_o^2).$$

(4)式减去(5)式得

$$\begin{aligned} \frac{n_e^2 - n_o^2}{\bar{n}^2 + 2} &= \frac{(n_e - n_o)(n_e + n_o)}{\bar{n}^2 + 2} \\ &= \frac{4}{3} \pi N_N (\alpha_e - \alpha_o), \end{aligned}$$

$\alpha_e, \alpha_o$  分别为向列相液晶平行于分子轴和垂直于分子轴的极化度;  $N_N$  为向列液晶的密度。

### (2) $\pi$ -电子体系的影响

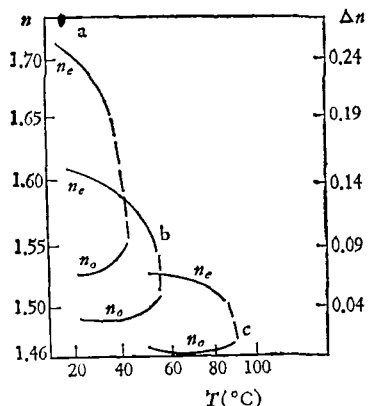


图 6  $\pi$ -电子体系的温度-折射率关系图

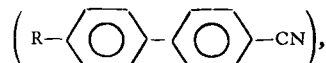
- a 曲线所用液晶是  $C_6H_{14}-\text{C}_6H_4-\text{C}_6H_4-\text{CN}$ ;
- b 曲线所用液晶是  $C_6H_{14}-\text{C}_6H_4-\text{C}_6H_4-\text{CN}$ ;
- c 曲线所用液晶是  $C_6H_{14}-\text{C}_6H_4-\text{C}_6H_4-\text{CN}$

如果液晶分子中苯环被环己烷取代, 由于  $\pi$ -电子体系减少, 极化度急剧变化, 所以  $n_o, n_e$  以及  $\Delta n$  都减小(图 6)。

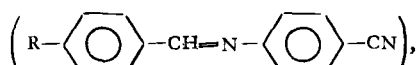
比较三种不同液晶的光学各向异性随温度的变化, 可以看出这种影响<sup>[6]</sup>。

## 五、液晶分子结构和抗磁各向异性

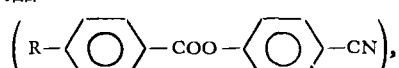
在磁场中的液晶分子其分子长轴是沿磁场取向, 或垂直于磁场及其分子结构有关。当液晶分子结构中含有苯环, 则由于苯环中  $\pi$ -电子体系的环电流使液晶分子长轴总是沿磁场取向, 因此一般向列液晶如联苯型液晶



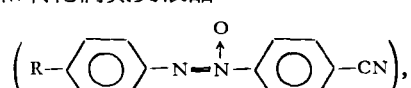
西佛硷液晶



酯类液晶



偶氮和氧化偶氮类液晶



以及二苯乙烯等类液晶, 它们的抗磁各向异性  $\Delta x = x_{\parallel} - x_{\perp} > 0$  为正值, 而不含苯环的环己

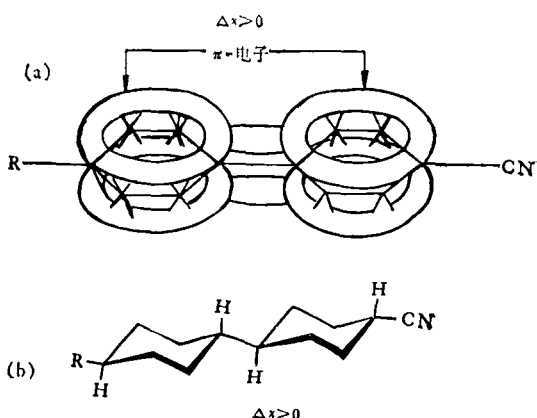


图 7 两种不同结构液晶的抗磁各向异性

- (a) 是  $R-\langle \text{C}_6H_4 \rangle-\langle \text{C}_6H_4 \rangle-\text{CN}$  液晶;
- (b) 是  $R-\langle \text{C}_6H_11 \rangle-\langle \text{C}_6H_11 \rangle-\text{CN}$  液晶

烷系列的液晶  $R-\text{C}_6\text{H}_4-\text{C}_6\text{H}_4-\text{CN}$  无环电流出现, 和一般向列液晶相反,  $\Delta x < 0$  为负值, 所以这类液晶分子在磁场中的取向是分子长轴垂直于磁场。这个现象已被 Pohl 等实验所证实<sup>[6]</sup>, 胆甾型液晶(胆甾醇衍生物)和部分溶致液晶的抗磁各向异性均为负值<sup>[11]</sup>。

然而, 液晶分子结构中所含偶极矩大小和方向是与液晶抗磁各向异性无关。

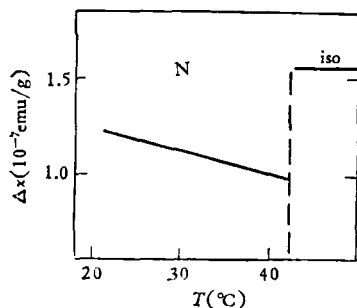


图 8 MBBA 液晶抗磁各向异性与温度关系图

液晶抗磁各向异性  $\Delta x$  与环境温度相关,

随温度增加而减小(图 8), 在相变点有明显突跃。液晶的其他物理参数, 如弹性常数、有序参数, 亦和分子结构紧密相关, 但目前还没有明确的解释, 尚待研究。

## 参 考 文 献

- [1] G. Meier et al., Application of Liquid Crystals, Springer Verlag Berlin, Heidelberg, New York, (1975), 9.
- [2] W. H. Dejeu et al., Philips Technical Review, 37-5-6(1977), 181.
- [3] W. H. Dejeu and J. Van der Veen, Phys. Lett., 44A-4(1973), 227.
- [4] M. Shadt, J. Chem. Phys., 56-4(1972), 1494.
- [5] L. R. Pohe et al., Phys. Lett., 60A-5(1977), 421.
- [6] L. R. Pohe et al., Phys. Lett., 65A-2(1978), 169
- [7] G. Heppka et al., Z. Naturforsch., A31-12(1976), 1700.
- [8] M. Bock et al., Mol. Cryst. Liq. Cryst., 45-3-4(1978), 221.
- [9] A. Ballar et al., Mol. Cryst. Liq. Cryst., 42-3-4(1978), 230.
- [10] Gerald R. Van Hecke et al., Mol. Cryst. Liq. Cryst., 45-1-2(1978), 1.
- [11] E. Sackmann et al., J. Am. Chem. Soc., 89-23(1976), 5981.

## 非平衡统计算符方法简介

余 明 保

(焦作矿务局子弟学校)

### 一

一个处于热平衡状态的体系当受到外界如电场、磁场、温度差等的扰动时, 将离开原来的平衡状态而处于非平衡状态, 体系中将出现电流、热流、扩散流……等输运现象。若外界扰动不太大, 这些流与外界扰动或“力”间的关系是线性的, 即所谓线性非平衡过程。可以把统计热力学推广到线性非平衡过程, 即热力学分支。

当外界扰动增强到一定阈值时, 体系失稳, 过渡到一种新的、有结构的状态, 叫耗散结构。这方面研究方兴未艾。

外界加于体系的扰动可分为力学性的和非力学性的。对力学性扰动, 可以在哈密顿量中增加一个体系与外场的相互作用项来描述:  $H = H_0 + H_t$ ,  $H_0$  是无扰动时体系的哈密顿量,

$$H_t = - \sum_i a_i(\mathbf{x}) \varphi_i(\mathbf{x}, t)$$

是体系与外场  $\varphi_i(\mathbf{x}, t)$  的相互作用能,  $a_i(\mathbf{x})$  描